

# 華梵大學工學院資訊管理學系

## 資訊系統專題結案報告格式

### 一、順序

- |                    |              |
|--------------------|--------------|
| 1. 封面 (平裝本淺藍色 C50) | 8. 表錄        |
| 2. 書名頁             | 9. 圖錄        |
| 3. 審定書             | 10. 符號說明     |
| 4. 誌謝 (無則免)        | 11. 正文       |
| 5. 摘要 (中文)         | 12. 參考文獻     |
| 6. ABSTRACT (英文)   | 13. 附錄 (無則免) |
| 7. 目錄              |              |

### 二、繕打 (Word 7.0 /Word2000 )

1. 用紙：A4 (橫書, 自左至右)。
2. 版面：頂端留邊 3.5cm 外，左右兩側及底端均留邊 3cm，底端 1 公分處中央繕打頁碼。(如附件一)
3. 字體：標楷體，中文字為全形外，餘皆半形；大標題#22 (置中)，次標題#16 (齊左)，餘皆#14。
4. 間距：字元間距加寬 1 點數；行距多行，行高 1.4，與前段距離 14 點數。但目錄、表錄、圖錄、符號說明、參考文獻等，則另訂之。
5. 段首：每段起首均空二字。
6. 空行：大標題下方空二行，次標題上方空一行。
7. 頁碼：居中於下方空白處；自「摘要」至「符號說明」以-I-、-II-、…等大寫羅馬數字連續編頁，自「正文」至「簡歷」則以-1-、-2-、…等阿拉伯數字連續編頁。

### 三、封面

以標楷體編排，格式樣本如 (附件二)，著者繕填校名、系所名、指導教授及本人姓名、報告完成日期等。平裝本淺藍色二本。

### 四、書背

包括校名、畢業學年(學年度)、報告別、報告名稱、系所名、著者姓名。(附件三)

### 五、書名頁

包括報告中英文名稱、著者及指導教授姓名、校名、系所名、報告別、提送報告英文說明及地名、論文完成日期等。(附件四)

### 六、審定書：(附件五)

### 七、誌謝

若有誌謝文，則須於頁末具名 (標楷體 #20) 並記「謹誌於大崙山華梵」(標楷體#14) 及日期，其格式如(附件六)。

## 八、摘要及 ABSTRACT

中英文各限一頁，內容應說明研究目的、資料來源、研究方法及結果等，文末各空一行後須分別加書關鍵詞及 Keywords。英文改用 CG Times 字型及標準字距，如(附件七之(一)、(二))。

## 九、目錄

自摘要起依序排列，其頁次齊右並以點線連接。行距改用單行間距。正文部分列出章、節及小節為止。(如附件八)

## 十、表錄及圖錄

各依序排列，其頁次齊右並以點線連接。各圖表名稱與其編號之間須空一格，且其右側邊界須空留三格。若名稱皆太長，得改用標準字距而無須加寬；超出一行時，其行距改用單行間距。每一圖表視為一段，其段距則改用12 點數 (附件九、十)。

## 十一、符號說明

各章節內所使用之數學及特殊符號，均集中表列一頁說明，以便參閱。其次序宜予適當排列，例如：區分為英文字及希臘字 (必要時再分出下標及上標)，並依次各按字母順序列出。若說明字數太長，得改用標準字距並配以單行間距 (附件十一)。

## 十二、正文

1. 章節編號：章次使用一、二、…等中文數字編號；節次使用 1.1、1.2、…，有名稱之小節次使用 1.1.1、1.1.2、…；其餘則配合使用 1、(1)、□等層次順序之阿拉伯數字。
2. 章節名稱及段落層次 (見附件十二)
  - (1) 章次與章名為大標題，置於版面頂端中央處。
  - (2) 節次與節名及有名稱之小節均為次標題，皆自版面左端排起，號次與名稱之間空半格。
  - (3) 小節以下 (段、小段、細目等) 或無名稱之小節，其號次均自版面左端依次各空二、三、四格間距表明層次，內文則均採齊頭式使其號次突出。須標出名稱者，僅以：號與其內文區隔即可，不必換行。
3. 數學公式：文中各數式，分章依出現次序連續編式號，並加 ( ) 號標明於文中或數式後 (齊右)。  
〔例〕為簡化項數，亦可直接以三角函數將 (3-3) 式之分佈密度函數表示如下：

$$f(\theta)=1/2\pi [1+a_2 \cos 2\theta + b_2 \sin 2\theta] \quad (3-4)$$

4. 文句內加註原文：文中術語得以 ( ) 號加註原文，但每一字首若非必要不得大寫。  
〔例〕廣義座標 (generalized coordinates)，梯度理查德遜數 (gradient

Richardsen number)，陶瓷基複合材料 (Ceramic Matrix Composite, CMC) 等。

#### 5. 文句內數字運用

1) 描述性、非運算之簡單數字及分數數字，以中文數字表示。

〔例〕一百五十人，三萬二千元，六十分之十九等。

2) 繁長者視情況使用中文或阿拉伯數字，以簡明為宜。

〔例〕美金三十五億元 (不用 3, 500, 000, 000 元) 。\$26, 743 (不用二萬六千七百四十三美元) 。

#### 6. 文獻參閱：文中所有參考之文獻，均依參閱順序連續編號，並加

〔〕號標明於參閱處。文獻資料另編錄於正文之後。

〔例〕本研究之不準度計算採用 Kline〔21〕之相對不準度。

#### 7. 註腳 (footnote)

1) 特殊事項、論點等，可使用註腳說明。

2) 註腳依應用順序編號，標於相關文右上角以備參閱。各章內編號連續，各章之間不相接續。

3) 註腳號碼及內容繕於同頁底端版面內，與正文之間加劃橫線區隔，頁面不足可延用次頁底端版面。

〔例〕車廂外乘客之旅行時間包含步行時間及等車時間<sup>10</sup>，茲分析如下：

①若捷運鐵路之服務帶寬為  $W$  公尺<sup>11</sup>，行人步道系統呈方格型 (grid type) 分佈，且旅次均勻發生，如圖 2-4 所示。

<sup>10</sup> 本文在考慮車站之可及性時，係假設乘客以步行為主。

<sup>11</sup> 嚴格言之，捷運之服務範圍係以車站為中心， $W$  為半徑之圓形面積，而  $W$  可由步行速率乘以乘客所能容忍之步行時間求得。

#### 8. 圖表編排

1) 所有圖表須按章分別以圖 1-1、圖 1-2、…及表 1-1、1-2、…連續編號，並按表先圖後，依序彙整於各章之末。

2) 表號及表名置於表上方中央，圖號及圖名則置於圖下方中央。須註資料來源及說明者，一律置於各該圖表下方。

3) 圖表之內文及數字，均應予打字或以工程字書寫。

### 十三、參考文獻

1. 所有參考文獻資料，均置於正文之後，獨立另起一頁，以「參考文獻」為大標題，按參閱順序依次編錄，中文參考文獻在前，英文參考文獻緊接在後，頁次仍以正文接續。

2. 字距改用標準字距，行距改用單行間距；每一文獻視為一段，其段距則改用 12 點數。

3. 各類資料之寫法

## 1) 通則

- ①按該文獻原所使用之語文繕列。
- ②作者姓名，一律先姓後名，但西文則須以, 號區隔。
- ③多人合著時，應按原文獻中順序繕列。  
〔例〕吳聰能、翁通盈、陳義男，Brown, H. E., Amstead, B. H. and Short, E.,
- ④機關、學校等所作，則將團體名稱比同個人作者繕列。
- ⑤格式中規定之項目如無，可從略。
- ⑥不列亦可自明之項目，得予省略。例如：中國工程學刊係中國工程師學會之期刊，由刊物名即知其發行者，故可省略之。
- ⑦若係西文，則除冠詞、介系詞及 pp. 外，每一字首均須大寫。
- ⑧書刊與論文集之名稱下加底線(underline); 論文題目則中文加「」號，英文加“ ” 號。

## 2) 類別格式

- ①期刊論文：作者，「題目」，刊物名稱，卷號，頁碼，刊行者，出刊年月。  
〔例〕[1] 許政行、賴玲瑩、葉國安，「使用比例閥與伺服閥在液壓伺服定位控制上之比較」，中國航空太空學會學刊，第二十八卷第四期，第 359-366 頁，民國八十五年十二月。  
[2] Pekins, C. D., “Development of Airplane Stability and Control Technology”, Journal of Aircraft, Vol. 7, No. 4, pp. 290-301, July-August 1970.
- ②會議論文：作者，「題目」，論文集名稱（或會議名稱），會議地點（必要時，加國名），會議年月，頁碼。  
〔例〕[1] 李福星、林昆遠，「六自由度磁浮載具之線性化模式」，1997 自動控制研討會暨兩岸機電及控制技術交流學術研討會論文集，華梵人文科技學院，台北縣，民國八十六年三月，第 267-273 頁。  
[2] Tsai, Z., et al., “Performance Analysis of Two Echo Control Designs in ATM Networks”, Proceedings of International Workshop on Advanced Communication and Applications for High Speed Networks, Munich, Germany, March 1992, pp. 113-122.  
[3] Wade, G., “Ultraside-spectrum Imaging Using the Ogden Model 7779 System”, presented at the 1980 Southern IEEE Conference, Santa Barbara, CA, U. S. A., March 19,

1980.

③學位論文：作者，「題目」，畢業校系（所）及論文學位，學校所在地，畢業年月。

〔例〕[1] 林祐輔，「二維雙噴射口射流干涉實驗研究」，國立清華大學動力機械工程研究所博士論文，民國七十九年六月。

[2] Ying, S. X., “Three-Dimensional Implicit Approximately Factored Schemes for Equations in Gasdynamics“, Ph. D. Thesis, Stanford University, CA, U. S. A., 1986.

④技術報告：作者，「題目」，報告名稱及編號，機構名稱及所在地，完成年月。

〔例〕[1] 蕭俊祥，「不確定系統的強韌性控制—分析與合成」，國家科學委員會專題計畫成果報告，NSC 82-0410-E-211-013，民國八十三年一月。

[2] Medioni, G. R., “Segmentation of Images into Regions Using Edge Information”, Tech. Rep. 101, Intelligent Systems Group, University of Southern California, Los Angeles, March 1983.

⑤書籍：著者，書名（或「題目」，叢書名及編者），版次，譯者，出版者，出版地，出版年月，頁碼。

〔例〕[1] 梵凡，PC/AT 80386 顯示控制系統分析，修訂二版，儒林圖書公司，台北，民國七十九年六月，第99-124頁。

[2] 赫塞(Herman Hesse)著，鄉愁，陳曉南譯，新潮文庫，台北，民國六十五年。

[3] 中國圖書館學會編，圖書館標準，正中書局，台北，民國五十四年。

[4] Timoshenko, S. P., Vibration Problems in Engineering, 3<sup>rd</sup> Ed., Van Nostrand Company Inc., New York, 1969, pp. 330-340.

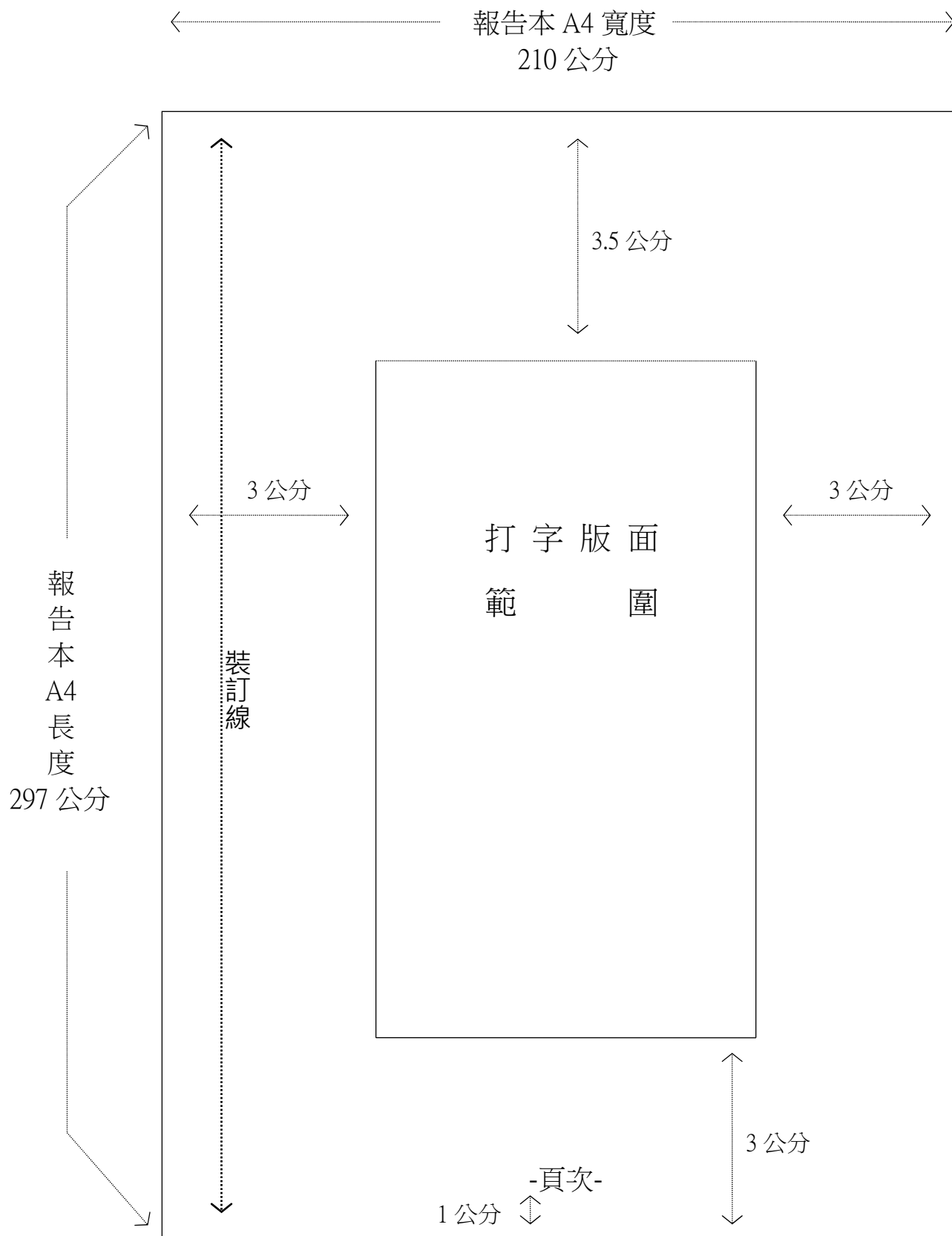
[5] Wittman, J. H., “Analysis of a Hybrid Frequency-Time Hopping Random Access Satellite Communication System”, Spread Spectrum Techniques, Edited by Dixon, R. C., IEEE Press, New York, 1976, pp. 193-200.

[6] Lissner, I., The Living Past, Translated by Maxwell, J., Putnum's Sons, New York, 1957.

#### 十四、附錄

凡屬大量數據、推導、註釋有關或其他冗長備參之資料、圖表，均可分別另起一頁，編為各附錄。

# 附件一 版面規格



華 梵 大 學

#26

資 訊 管 理 學 系

資 訊 系 統 專 題 結 案 報 告

#22

管 理 資 訊 系 統 設 計

#26

Management Information Systems Design

Time New Roman # 18



請向所內索取本校「阿育王柱」精神標誌 Word 圖形檔：  
插入→圖片→選 A(B)碟→連結到檔案→確定

指 導 教 授：朱 惠 中

學 生：顧 小 月 丁 大 中

王 小 明 張 子 華

#22

中 華 民 國 89 年 12 月

#22



附件三 書背規格

	1.5公分	華梵
畢業學年 (學年度)	2公分	89
	6公分	資訊系統專題結案報告
	9.5公分	資訊管理系統設計
	5.2公分	資訊管理學系
	2.5公分	顧小月 丁大中 王志明 張子華
	1.4公分	

#16

附件四 書名頁

資訊管理系統設計

#22

Information Management System Design

Time New  
Roman # 16

學生：顧小月 丁大中  
王小明 張子華

指導教授：朱惠中博士 #16

華梵大學

#16

資訊管理學系

資訊系統專題結案報告

Huafan University

Department of Information Management

Time New  
Roman # 16

Special Topic Final Report

June 2000

Shiding Dist. , New Taipei City , Taiwan , Republic of China

中華民國 89 年 12 月

#16

附件五 審定書

華梵大學資訊管理學系

#20

資訊系統專題結案報告審定書

#22

89 學年度第 2 學期

#18

資訊管理學系 \_\_\_\_\_、\_\_\_\_\_、  
\_\_\_\_\_、\_\_\_\_\_君所提之專題報告

#20

題目：(中文) \_\_\_\_\_

#16

(英文) \_\_\_\_\_

經本委員會審議符合專題報告之標準。 #20

指導教授 \_\_\_\_\_ #16

中華民國 \_\_\_\_\_ 年 \_\_\_\_\_ 月 \_\_\_\_\_ 日 #20

## 附件六 誌謝文範例

### 誌謝 #22

空二行

#14 本論文的完成，首應感謝恩師□□□教授兩年來的諄諄教誨、愷切指導，無論是研究期間的鼓勵提攜或日常生活的關懷照顧均使本人永誌於心，謹此致上最誠摯的謝意。

行距，  
行高 1.4

在論文研究期間，承蒙資管系多媒體實驗室的實驗設備支援與□□□老師的熱心指導，並蒙□□□博士、□□□博士、□□□博士及□□□博士對論文的斧正與指導，在此衷心誌謝。而實驗室□□□老師、□□□老師與□□□、□□□等多位學長在學業及生活上亦多所協助，特此表達由衷的感激。

段距，  
14 點數

最後，謹將本文獻給我最愛的父母親、□□□與□□□。

顧小月、丁大中  
王小明、張子華

標楷體#18

謹誌於大崙山華梵

標楷體#14

2000.12.30

## 摘要 #22

#14 吾人比較參震波點路徑角現有的實驗結果與參震波理論時，發現在入射震波馬赫數由 2 降至 1 時二者之間的差距呈反向且增大的變化。因此我們無法不面對為何傳統參震波理論幾乎完全不能解釋弱馬赫反射，而相同的理論卻可以準確地描述許多強馬赫反射的這一個令人困惑的問題，本文對發生在小楔形角面上類似馬赫反射現象的參震波點路徑角提出了理論分析。吾人發現當參震波理論必須給予前向反射震波解時，則依據入射震波下游流場音速法則所得之小楔形角面上馬赫震波反射參震波點路徑角的預測與現有的實驗結果非常地吻合。文中並且具體地定義了反射楔形角度“小”的程度。這個理論與實驗間的契合為前向皮射震波係屬於擬似穩態馬赫反射流場一個不合乎其下游流場音速結構之物理解的事實提出了有力的證明。換言之吾人同時說明了，當參震波理論對小楔形角面上馬赫反射給予違反其下游流場音波結構物理的前向反射震波解時，反射波為正常馬赫波或自身相似壓縮波的類似馬赫反射現象將會發生。

---

——**關鍵詞：**參震波點路徑角、馬赫反射。

## 附件七 (二) ABSTRACT 範例

Times New  
Roman #22(半  
形)

# ABSTRACT

Times New  
Roman #14(半形)  
行高 1.4

A comparison between the von Neumann three-shock theory and existing oblique shock reflection experiments for triple point trajectory angles in pseudo-steady Mach reflections (MR) in diatomic gases show that the trend of the variation between the two moves in increasingly opposite directions as the incident shock Mach number decreases from 2 to 1. Therefore, it is hard to escape a notion of paradox why the three-shock theory fails so miserably for weak MR while the same theory succeeds brilliantly for many of strong MR. In this work we present a theoretical analysis for the prediction of triple point trajectory angles of both weak and strong pseudo-steady MR over small reflecting wedge angles. It is found that the predicted triple point trajectory angles, based on the sonic criterion for the flow velocity downstream of the incident shock, are in excellent agreement with the existing experimentally observed values for small reflecting wedge angles where the three-shock theory requires forward facing reflected shock solutions. The “smallness” of the reflecting wedge angle is analytically defined. Boundaries separating regimes of “small” from “not-small” reflecting wedge angles of pseudo-steady MR are determined. This close agreement provides convincing evidence that forward facing reflected shock solutions of pseudo-steady MR should be ruled out physically. In its place, for “small” reflecting wedge angles, MR-like phenomena characterizing by reflected normal Mach waves or self-similar compression waves occurs.

**Keywords:** triple point trajectory angle, Mach reflection.

Times New  
Roman #14 加黑  
(半形)

# 附件八 目錄

## 目 錄

#22

	頁次	#14
誌謝 .....	I	
摘要 .....	II	
ABSTRACT .....	III	
目錄 .....	IV	
表錄 .....	V	
圖錄 .....	VI	
符號說明 .....	VII	
一、緒論 .....	1	
二、研究內容與方法 .....	7	
2.1xxxx .....	10	
2.1.1xxx .....	11	
2.1.2xxxxxxx .....	12	
2.2.1xx .....	13	
2.2.2xxx .....	14	
2.2.3xxxx .....	15	
三、理論 .....	16	
3.1xx .....	17	
3.2xxx .....	20	
四、實驗部份 .....	23	
4.1xx .....	28	
4.2xxx .....	29	
五、結論 .....	30	
5.1xxxxxxx .....	31	
5.2xxxx .....	33	
六、xxx .....	34	
6.1xx .....	35	
6.2xxxx .....	38	
參考文獻 .....	40	
附錄一 .....	42	
附錄二 .....	44	
簡歷 .....	46	

# 附件九 表錄範例

## 表 錄 #22

#14	表 3-1 各種炸藥之爆震評估參數表 .....	23
	表 3-2 Houlston 之各組爆震實驗數據表 .....	23
	表 4-1 模態測試之實驗儀具與軟體 .....	43
	表 5-1 實驗數值結合法與有限單元法預測結果比較 .....	54

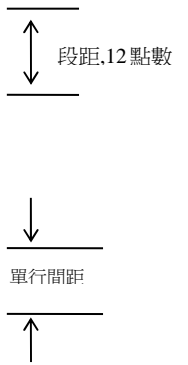
↑  
段距  
(12 點)  
↓



附件十 圖錄範例(圖名較長、得改用：標準字距、單行間距及 12 點數段距)

圖 錄 #22

#14	圖 3-1 水中爆震所產生之震波及氣泡示意圖	24
	圖 3-2 氣泡振盪現象與氣泡脈衝對爆震負荷大小之影響	24
	圖 3-3 (a)水面反射及(b)水底反射對合成震波壓力強度之	25
	圖 3-4 之時間歷程示意圖	26
	圖 3-5 時間歷程圖	26
	圖 3-6 實驗設備配置圖	27
	圖 3-7 裝置示意圖	27
	圖 3-8 裝置之實體照片	28
	圖 3-9 加速規、應變計之裝設位置示意圖	28
	圖 3-10 Houlston 爆震實驗(Test4)之壓力強度的時間歷程圖	29
	圖 3-11 有限單元分析模型(四分之一板)之座標方向及邊界條件示意圖	30
	圖 4-1 A1-A6 位置圖	44
	圖 4-2 A1 位置之 COSMOS/M、ADINA 預測結果與爆震實驗結果的比較	45
	圖 4-3 A1 位置之固定邊界的有限單元分析、結合模態測試及有限單元分析(MT-FEM)預測結果與爆震實驗結果之位移時間歷程的比較	46



# 附件十一符號說明範例

## 符號說明 #22

$J$	：擠製總功率	#14
$L$	：模穴長度	
$m_1$	：複合材擠製時模壁與外層材之摩擦因子	
$m_2$	：複合材擠製時內外層材界面之摩擦因子	
$P$	：擠製壓力	
$Q$	：單位時間之總流量	
$R$	：擠製比，半徑	
$U_r$	：徑向速度	
$U_z$	：軸向速度	
$\dot{W}_f$	：摩擦消耗功率	
$\dot{W}_i$	：內部塑性變形功率	
$\dot{W}_s$	：剪斷消耗功率	
$Y$	：降伏強度	
$\alpha$	：半模角	
$\Gamma_s$	：剛塑性邊界	
$\Phi$	：流線函數	
$\dot{\epsilon}_r \quad \dot{\epsilon}_z \quad \dot{\epsilon}_\theta$	：正向應變率	
$\dot{\epsilon}_z$	：剪斷應變率	
$\dot{\epsilon}_{eq}$	：等效應變率	



### 次標題(#16) — 下標符號

1	：外層擠型材
2	：內層擠型材
f	：出口狀態
I	：入口狀態



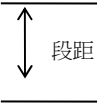


□□□□□□□□□□□□□□□□□□□□□□□□□□

□□□□□□□□□□□□□□□□□□□□□□□□□□

□□□□□□□□□□□□□□□□□□□□□□□□□□

□□□□□□□□□□□□□□□□□□□□□□□□□□



2. 深坑鄉：□□□□□□□□□□□□□□□□□□□□□□□□□□

□□□□□□□□□□□□□□□□□□□□□□□□□□